

LUMINOSITA' & BRILLANZA: fasci di PARTICELLE CARICHE & FOTONI.

• LUMINOSITA' (LUMINOSITY)

Consideriamo un fascio di particelle ( $N_1$ ) che incide su un bersaglio fisso contenente  $N_2$  particelle. Il numero di particelle  $N_3$  generate dall'urto ("numero di eventi") nell'unità di tempo  $t$ , in generale;

$$\frac{dN_3}{dt} \propto N_1 \cdot N_2$$

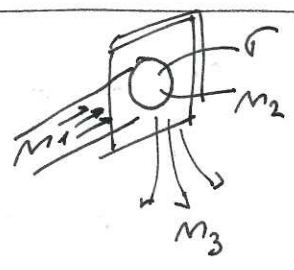
Si definisce la LUMINOSITA' ISTANTANEA:

$$L = \frac{dN_3}{dt} \frac{1}{\sigma}, \left[ \frac{\text{eventi}}{\text{sec} \cdot \text{m}^2} \right]$$

dove  $\sigma$  = superficie di interazione

Integrando sul tempo di interazione:

$$N_3 = \int_{\Delta t} \frac{dN_3}{dt} dt = \int_{\Delta t} \sigma L(t) dt \equiv \sigma \mathcal{L}$$



ed  $\mathcal{L}$  = LUMINOSITA' INTEGRATA (nel tempo), in unita di BARN INVERSI

1 BARN =  $10^{-24} \text{ cm}^2 = 10^{-28} \text{ m}^2$

Estendiamo il concetto di  $L, \mathcal{L}$  a fasci collidenti. In tal caso l'area di interazione e' determinata dalle dimensioni trasversali dei fasci al punto di interazione. La probabilita' di generare specifici eventi e' data dalla SEZIONE D'URTO caratteristica di quegli eventi:

$$L = \frac{N_1 N_2}{2\pi \sqrt{\sigma_{x1}^2 + \sigma_{x2}^2} \sqrt{\sigma_{y1}^2 + \sigma_{y2}^2}} k f_{rep}$$

dove:  $N_1, N_2$  = # particelle in ogni pacchetto

$k$  = # pacchetti in un "tratto" di impulsi (nel sincrotrone)

$f_{rep}$  = frequenza di ripetizione dell'oculatore (rivoluzione nel sincrotrone)

$L \propto \frac{N_1 N_2}{\text{Area}}$

$L \left[ \frac{\text{eventi}}{\text{sec} \cdot \text{m}^2} \right]$

Possiamo scrivere la precedente in funzione delle correnti di carica MEDIE accumulate nel sincrotrone:

$$L = \frac{N_1 N_2}{2\pi \sqrt{\sigma_x^2} \sqrt{\sigma_y^2}} k f \cdot \frac{q_1 q_2}{q_1 q_2} \cdot \frac{k f}{k f} = \frac{\bar{I}_{1,tot} \bar{I}_{2,tot}}{2\pi \sqrt{\sigma_x^2} \sqrt{\sigma_y^2}} \left( \frac{1}{q_1 q_2 k f} \right)$$

Assumiamo infine  $\sigma_{x1} = \sigma_{x2} = \sigma_x$  e  $\sigma_{y1} = \sigma_{y2} = \sigma_y$ ;  $E_{x1} = E_{x2} = E_x$  e  $E_{y1} = E_{y2} = E_y$ :

$$L = \frac{N_1 N_2 k f}{4\pi \sigma_x^* \sigma_y^*} = \frac{N_1 N_2 k f}{4\pi \sqrt{E_x E_y} \sqrt{\beta_x^* \beta_y^*}} \Rightarrow \left| \begin{array}{l} \text{OTTICA "LOW-}\beta\text{"} \\ \text{al PUNTO DI INTERAZIONE} \end{array} \right|$$

• BRILIANZA di un fascio di particelle CARICHE (BRIGHTNESS)

Per semplicità assumiamo un regime ultra-relativistico ( $\beta \approx 1$ ). La brillantezza è la densità di particelle nello spazio delle fasi, per unità di tempo:

$$F = \frac{qdN}{dt} \quad \text{FLUSSO di CARICA} \equiv I \text{ [A]}$$

$$\boxed{B^c = \frac{I}{E_x E_y}} \rightarrow \text{per renderla INVARIANTE in presenza di aberrazione: } B_m^c = \frac{I}{E_{mx} E_{my}} \quad (= \frac{B^c}{\gamma^2})$$

Possiamo estendere il concetto allo spazio-fasi 6-D includendo l'emittanza LONGITUDINALE  $E_z = c \sigma_t \sigma_s$ . Allora:

$$B^c(6D) = \frac{(Q/c)}{E_x E_y \sigma_t \sigma_s} = \frac{I/c}{E_x E_y \sigma_s} \quad (\text{a meno di costanti per definire } I \text{ in funzione di } \sigma_t)$$

• BRILIANZA di un fascio di FOTONI (BRILLIANCE)

Assumiamo un fascio di fotoni (radiazione) descritto trasversalmente da un modo GAUSSIANO ( $TEM_{00}$ ) propagantesi nello spazio vuoto. Si può dimostrare che l'EMITTANZA TRASVERSA  $|E_{ph} = \sigma_x \sigma_{x'} = \lambda/4\pi|$ , dove  $\lambda$  è la lunghezza d'onda centrale della radiazione.

La brillantezza è la quantità che descrive il FLUSSO di RADIATIONE per unità di BANDA SPETTRALE alla SORGENTE. Laddove la sorgente della radiazione è un fascio di particelle cariche (ultra-relativistiche), abbiamo:

$$\boxed{B^{ph} = \frac{\phi}{4\pi^2 \sum_x \sum_{x'} E_x E_{x'}}} \quad \text{dove: } \phi = \frac{dN_{ph}}{dt (d\omega/\omega)}$$

$$\sum_x = \sqrt{\sigma_{x,e}^2 + \sigma_{x,ph}^2}, \text{ ecc...}$$

In generale:  $\sigma_{x,e} = \sqrt{E_x \beta_x + (D_x \sigma_s)^2}$

$$\sigma_{x',e} = \sqrt{\frac{E_x}{\beta_x} + (D_x' \sigma_s)^2} \quad \text{con } \sigma_x = 0, \text{ ecc...}$$

Assumiamo  $\sigma_{x',e} = 0$ ,  $D_x = D_x' = 0$ . Descriviamo erobparante:

$$\sigma_{x,ph} = \sqrt{E_x \beta_{x,ph}}, \quad \sigma_{x',ph} = \sqrt{\frac{E_{x,ph}}{\beta_{x,ph}}}, \text{ ecc...} \quad \text{Allora } B^{ph}: \text{ MASSIMIZZATA}$$

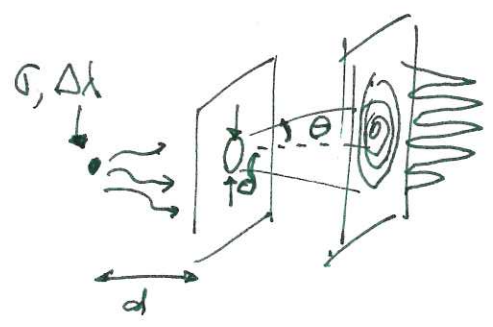
quindi:  $\beta_{x,e} = \beta_{x,ph} = \beta_{y,e} = \beta_{y,ph}$ : ~~...~~ [dim.]

$$\hat{B}^{ph} = \frac{\phi}{4\pi^2 (E_x + E_{ph})(E_y + E_{ph})} \quad [\text{N.B.: abbiamo assunto } E_{x,ph} = E_{y,ph}]$$

$$\Rightarrow \boxed{E_{x,y} \equiv E_{ph} = \frac{\lambda}{4\pi}} \quad \text{LIMITE DI DIFFRAZIONE} \quad \text{e } B^{ph} = \frac{\phi}{\lambda^2}$$

COERENZA TRASVERSA e LONGITUDINALE (flusso di fotoni) (37)

Dal punto di vista sperimentale, la coerenza TRASVERSA e LONGITUDINALE di un impulso di RADIAZIONE si traduce in uno schema di interferenza prodotto dal passaggio nel fessura attraverso un'apertura (Young's exp.)



• Una sorgente con dimensione trasversale \$r\$ e lunghezza spettrale \$\Delta\lambda\$ tende a ridurre la visibilità del pattern di interferenza.

• Il primo massimo del pattern è predetto dalla teoria di DIFFRAZIONE all'angolo \$\theta = \frac{\lambda}{d}\$

\$\Rightarrow\$ richiediamo \$\Delta g(\lambda) = \frac{\Delta\lambda}{\lambda} < \theta\$, così:

$$\left[ \frac{\Delta\lambda}{\lambda} < 1 \leftrightarrow \frac{\Delta\nu}{\nu} < 1 \right]$$

\$\Rightarrow\$ def. LUNGHERIA di COERENZA \$L\_{coh} := \frac{c}{\Delta\nu} = \frac{\lambda^2}{\Delta\lambda}\$

\$\boxed{L\_{coh} \gg \lambda}\$

significato di \$L\_c\$:  
2 onde che si trovano in fase a \$t=0\$, si trovano in opposizione di fase al tempo:

\$\Delta t = \frac{L\_c}{c} = \frac{\lambda^2}{c \Delta\lambda}\$

• Richiediamo analogamente che lo spread in angolo indotto da \$\sigma \neq 0\$ sia: \$\Delta\theta = \frac{\sigma}{d} \leq \frac{\lambda}{d}\$

\* L'area coperta dall'emissione in comproprietà delle aperture sarà dunque:

\$A \approx d^2 \approx \left(\frac{\lambda d}{\sigma}\right)^2\$

\* Il FLUSSO di FOTONI COERENTI TRASVERSALMENTE,

\$\Phi\_{coh} \approx \frac{FA}{d^2 \Omega} \approx f \frac{\lambda^2 d^2}{\sigma^2} \frac{1}{\Omega d^2} = F \frac{\lambda^2}{\Omega \sigma^2} \propto B^r \lambda^2 \checkmark\$

FLUSSO TOTALE

ANGOLO SOLIDO di emissione

BRILLIANCE

FLUSSO COERENTE.

Sia \$f = \frac{N\_c}{c \Delta t}\$ il flusso totale di fotoni in una durata dell'impulso \$\Delta t\$.

Le presenze di fotoni contenute nella \$L\_c\$ sarà \$n\_c'' = F L\_c = f \frac{\lambda^2}{\Delta\lambda}\$.

La brilliance al limite di diffrazione: \$B^r \propto \frac{f}{\Phi\_{ph}^2 \theta^2 (\Delta\lambda/\lambda)} \rightarrow \frac{F}{\lambda^2 (\Delta\lambda/\lambda)} = \frac{F}{\lambda \Delta\lambda}\$

Risultato che la proprietà di fotoni contenute nel VOLUME ( $L, l$ ) di coerenza è:

$$n_c = \left( F \frac{\lambda^2}{\Delta\lambda} \right)_{D.L.} = \left( B_{D.L.} \lambda^3 \right) \times$$

$\Rightarrow$  tale proprietà tende a valori piccoli al diminuire di  $\lambda$ , a parità di BRILLANZA SPETTRALE. (è più difficile ottenere coerenza totale a  $\lambda$  piccole).

Richiamano la def. di  $B_{ph}$  in funzione delle dimensioni dei fasci di elettroni e fotoni, introducendo il FAATTORE DI COUPLING per il fascio accelerato:  $E_y = k E_x$ .

Discordiamo la dimensione divergente angolare di un fascio di radiazione ideale, cioè emessa da particelle cariche in un elemento magnetico (ONDULATORE) lungo  $L \rightarrow$  distribuzione GAUSSIANA:

$$\sigma_{r,ph} = \frac{\sqrt{\lambda L}}{2\pi}, \quad \sigma_{r',ph} = \sqrt{\frac{\lambda}{4L}} \quad \text{t.c.} \quad \sigma_r \sigma_{r'} = \epsilon_{ph} = \frac{\lambda}{4\pi}$$

$$\Rightarrow \sigma_{ph} = \frac{\sigma_{r'}}{\sigma_r} = \frac{\pi}{L}, \quad B_r = \frac{\sigma_r}{\sigma_{r'}} = \frac{L}{\pi} \quad (\text{funzione di betatrone "equivalente", alla sorgente})$$

Assumiamo infine che nel punto di emissione  $\theta = \theta_r = 0$  (WAIST).

La componente "geometrica" della  $B_{ph}$  diventa, in zone non DISPERSIVA:

$$\frac{B_{ph}}{\left(\frac{\Phi}{4\pi^2}\right)} = \frac{1}{\sqrt{(\dots)}} \rightarrow \sqrt{\epsilon_x \beta_x + \epsilon_y \beta_y} \sqrt{\frac{\epsilon_x}{\beta_x} + \frac{\epsilon_y}{\beta_y}} \sqrt{\epsilon_r \beta_r + \epsilon_e \beta_e} \sqrt{\frac{\epsilon_r}{\beta_r} + \frac{\epsilon_e}{\beta_e}} =$$

$$\left[ \begin{array}{l} \text{imponiamo il} \\ \text{LIMITE di} \\ \text{DIFFRAZIONE} \\ \epsilon_x \approx \epsilon_r \end{array} \right] = \sqrt{\epsilon_r (\beta_x + \beta_e)} \sqrt{\epsilon_r \left(\frac{1}{\beta_x} + \frac{1}{\beta_e}\right)} \sqrt{\epsilon_r (k\beta_y + \beta_r)} \sqrt{\epsilon_r \left(\frac{k}{\beta_y} + \frac{1}{\beta_r}\right)} = \dots$$

$$\frac{B_{ph}}{\left(\frac{\Phi}{4\pi^2}\right)} = \frac{1}{\epsilon_r^2} \frac{\beta_r \sqrt{\beta_x \beta_y}}{(\beta_x + \beta_e) \sqrt{(k\beta_y + \beta_r)(\beta_y + k\beta_r)}} = \text{distinguiamo ora 4 casi, al valore di } k$$

①  $k \approx 1$  (coupling 100% on "round beam")

$$\frac{B_{ph}}{\left(\frac{\Phi}{4\pi^2}\right)} = \frac{1}{\epsilon_r^2} \frac{\beta_r \sqrt{\beta_x \beta_y}}{(\beta_x + \beta_e)(\beta_y + \beta_r)} \rightarrow \text{MAX per } \beta_x = \beta_y = \beta_r = \frac{L}{\pi},$$

$$= \frac{1}{4} \frac{\epsilon_r^2}{\epsilon_r^2}$$

②  $k \ll 1$  &  $\beta_y \approx \beta_r$  ("flat beam" + "matched beam")

$$\frac{B_{ph}}{\left(\frac{\Phi}{4\pi^2}\right)} \approx \frac{1}{\epsilon_r^2} \frac{\beta_r \sqrt{\beta_x \beta_y}}{(\beta_x + \beta_e) \sqrt{\beta_y \beta_r}} = \frac{1}{\epsilon_r^2} \frac{\sqrt{\beta_x \beta_r}}{(\beta_x + \beta_e)} \rightarrow \text{MAX per } \beta_x = \beta_y \approx \beta_r = \frac{L}{\pi},$$

$$= \frac{1}{2\epsilon_r^2}$$

③  $k \ll 1$  &  $k\beta_Y \approx \beta_Z$

$$\frac{B_{ph}}{\left(\frac{\phi}{4\pi^2}\right)} \approx \frac{1}{\epsilon_2^2} \frac{\beta_Z \sqrt{\beta_X \beta_Y}}{(\beta_X + \beta_Z) \sqrt{k\beta_Y + \beta_Z} \sqrt{\beta_Y}} \approx \frac{1}{\sqrt{2} \epsilon_2^2} \frac{\sqrt{\beta_X \beta_Z}}{(\beta_X + \beta_Z)} \rightarrow \text{MAX per } \beta_X = \beta_Z = \frac{L}{\pi}$$

$$= \frac{1}{2\sqrt{2} \epsilon_2^2}$$

④  $k \ll 1$  &  $k\beta_Z \approx \beta_Y$

$$\frac{B_{ph}}{\left(\frac{\phi}{4\pi^2}\right)} \approx \frac{1}{\epsilon_2^2} \frac{\beta_Z \sqrt{\beta_X \beta_Y}}{(\beta_X + \beta_Z) \sqrt{\beta_Y + k\beta_Z} \sqrt{\beta_Z}} \approx \frac{1}{\sqrt{2} \epsilon_2^2} \frac{\sqrt{\beta_X \beta_Z}}{(\beta_X + \beta_Z)} \rightarrow \text{MAX per } \beta_X = \beta_Z = \frac{L}{\pi}$$

$$= \frac{1}{2\sqrt{2} \epsilon_2^2}$$

FLUSSO COERENTE

Richiamiamo la def di flusso coerente come la frazione di flusso contenuta nel cono angolare intrinseco della radiazione:

$$\phi_{coh} := \phi \frac{d\Omega_x d\Omega_Y}{\Sigma_x' \Sigma_Y'} = \phi \frac{\Omega_{e'}}{\sqrt{\frac{\epsilon_x + \epsilon_2}{\beta_x} \frac{\epsilon_y + \epsilon_2}{\beta_y}}} = \phi \frac{1}{4L} \frac{1}{\sqrt{\frac{2\epsilon_2}{\beta_Z} \sqrt{\frac{k\epsilon_2}{\beta_Z} + \frac{\epsilon_2}{\beta_Z}}}}$$

$$\left\{ \begin{array}{l} \epsilon_x = \epsilon_2 = \frac{\lambda}{4\pi} \\ \epsilon_y = k\epsilon_x \\ \beta_x = \beta_Z = \frac{L}{\pi} \end{array} \right\}$$

$$= \phi \left( \frac{\lambda}{4L} \left( \frac{\beta_Z}{\sqrt{2} \epsilon_2} \right) \frac{\sqrt{\beta_Y}}{\sqrt{\beta_Y + k\beta_Z}} \right) = \frac{\phi}{\sqrt{2}} \sqrt{\frac{\beta_Y}{\beta_Y + k\frac{L}{\pi}}}$$

$$= \begin{cases} \beta_Y \gg k\frac{L}{\pi}, & \phi_{coh} \approx \frac{\phi}{\sqrt{2}} \\ \beta_Y \approx k\frac{L}{\pi} (=k\beta_x), & \phi_{coh} \approx \frac{\phi}{2} \leftarrow \text{MAX } \phi_{coh}, \text{ MAX } \frac{B_{ph}}{\left(\frac{\phi}{4\pi^2}\right)}! \\ \beta_Y \ll k\frac{L}{\pi}, & \phi_{coh} \ll \phi \end{cases}$$

N.B.: la def di  $\phi_{coh}$  è ben costruita perché per  $\epsilon_x, \epsilon_y \rightarrow 0$ ,  $\Sigma_x', \Sigma_y' \rightarrow \Omega_{e'} \Rightarrow \phi_{coh} \equiv \phi$ .

N.B.B.: la condizione  $\beta_x \approx \beta_Z$ ,  $\beta_Y \approx k\beta_Z$  con  $\epsilon_y \approx k\epsilon_x \approx k\epsilon_2$  determina il MAX flusso coerente e  $B_{ph}(\phi)$  perché SOVRAPPONE e a radiazione in ENTRAMBI i PIANI (GLISSI OROTETTICHE).